

18. Яушев И. К. Распад произвольного разрыва в канале со скачком площади сечения.— Изв. СО АН СССР. Сер. техн. наук, 1967, № 8, вып. 2.
19. Годунов С. К. и др. Численное решение многомерных задач газовой динамики. М., Наука, 1976.
20. Pearson H., Holliday J. B., Smith S. F. A theory of the cylindrical ejector supersonic propelling nozzles.— J. Royal Aeronaut. Soc., 1958, vol. 62, N 574.
21. Славянов Н. Н., Тагиров Р. К. Экспериментальное исследование влияния отношения теплоемкостей на донное давление за кольцевым уступом.— Изв. АН СССР. МЖГ, 1967, № 4.
22. Sinley H. L. G., Ferriman V. N. Jet separation in conical nozzles.— J. Royal Aeronaut. Soc., 1964, vol. 68, N 648.

УДК 624.131+532.529

## ВОЛНЫ В СРЕДАХ С ПЕРЕМЕННОЙ И ПОСТОЯННОЙ ОБЪЕМНОЙ ВЯЗКОСТЬЮ

*A. Г. Ляхов, Г. М. Ляхов, В. Н. Охитин  
(Москва)*

Решение волновых задач проводилось на основе модели многокомпонентной среды без вязкости [1—3] и с постоянным коэффициентом объемной вязкости  $\eta$  [4—7].

Ниже дано решение задачи о распространении плоской одномерной волны, создаваемой ударной и непрерывно нарастающей нагрузкой в многокомпонентной среде при  $\eta = 0$  (среда без вязкости),  $\eta = \eta_0$  (постоянная вязкость),  $\eta = \eta(\varepsilon)$  (вязкость, меняющаяся в процессе деформации среды). Сопоставление полученных решений позволяет определить влияние изменения  $\eta$  на закономерности распространения волн.

К жидкостям с пузырьками газа, а также к водонасыщенному грунту (среда — твердые частицы, жидкость, газ), где газ защемлен в виде отдельных пузырьков, при рассмотрении волновых процессов применяется модель многокомпонентной среды с объемной вязкостью [6]. Поведение среды определяется уравнением

$$(1) \quad \frac{\dot{V}}{V_0} = \varphi(p) \dot{p} - \frac{\alpha_1}{\eta} \psi(p, V),$$

где  $p$  — давление в среде;  $V$  и  $V_0$  — удельный объем при давлении  $p$  и атмосферном давлении  $p_0$ ;  $\varphi(p) = (dV_D/dp)/V_0$ ;  $V_D(p)$  — диаграмма динамического сжатия среды при  $\dot{p} \rightarrow \infty$ ,  $\dot{V} \rightarrow \infty$ . Функция  $\psi(p, V) = 0$  соответствует диаграмме статического сжатия среды (равновесной диаграмме) при  $\dot{p} \rightarrow 0$ ,  $\dot{V} \rightarrow 0$ ,  $\eta$  — коэффициент объемной вязкости.

При этом

$$(2) \quad \frac{\dot{V}_D}{V_0} = \alpha_1 + \sum_{i=2}^3 \alpha_i \left[ \frac{\gamma_i (p - p_0)}{\rho_{i0} c_{i0}^2} + 1 \right]^{-\frac{1}{\gamma_i}},$$

$$(3) \quad \psi(p, V) = p - p_0 \alpha_1^{\gamma_1} \left\{ \frac{\dot{V}}{V_0} - \sum_{i=2}^3 \alpha_i \left[ \frac{\gamma_i (p - p_0)}{\rho_{i0} c_{i0}^2} + 1 \right]^{-\frac{1}{\gamma_i}} \right\}^{-\gamma_1},$$

где  $i$  — номер компонента, первый — газ, второй — жидкость, третий — твердые частицы;  $\alpha_i$  — содержание компонентов по объему;  $V_{i0} = 1/\rho_{i0}$  —

их удельный объем;  $c_{i0}$  — скорость звука в них при  $p = p_0$ . В среде жидкость — газ  $\alpha_3 = 0$ .

В модели принято, что в свободном состоянии все компоненты сжимаются по уравнению

$$(4) \quad p - p_0 = \frac{\rho_{i0} c_{i0}^2}{\gamma_i} \left[ \left( \frac{V_{i0}}{V_i} \right)^{\gamma_i} - 1 \right].$$

Это уравнение соответствует адиабате Пуассона для газа и уравнению Тета для воды и материала твердого компонента. Принимается, что в среде жидкий и твердый компоненты сжимаются при нагрузке мгновенно по тем же уравнениям, а газ постепенно по мере заполнения остальными компонентами объема пузырьков. При этом

$$p - p_0 = \frac{\rho_{10} c_{10}^2}{\gamma_1} \left[ \left( \frac{V_{10}}{V_1} \right)^{\gamma_1} - 1 \right] - \eta \frac{\dot{V}_1}{V_{10}}.$$

Уравнение (1) переходит при  $\eta \rightarrow 0$  и  $\eta \rightarrow \infty$  в уравнения сжимаемости среды без вязкости с диаграммами сжатия, совпадающими с диаграммами статического и динамического сжатия вязкой среды.

Величина  $\eta$  определяется экспериментально. Приближенное значение  $\eta$  можно найти из некоторых предположений о характере деформирования пузырьков газа. Все пузырьки принимаются сферическими, одного радиуса.

Изменение объема пузырька  $V_n$ , если давление  $p_n$  внутри него мгновенно выравнивается,

$$\dot{V} = -4\pi r^2 u_n, \quad V_{n0} = 4\pi r_0^3/3, \quad \frac{\dot{V}_1}{V_{10}} = \frac{\dot{V}_n}{V_{n0}} = -\frac{3u_n}{r_0} \left( \frac{r}{r_0} \right)^2,$$

где  $u_n$  — скорость смещения поверхности пузырька к центру;  $r_0$  — его начальный радиус;  $r$  — текущий радиус.

В каждый момент времени в соответствии с (1)–(3)

$$(5) \quad \frac{V}{V_0} = \sum_{i=1}^3 \alpha_i \frac{V_i}{V_{i0}}, \quad \frac{\dot{V}}{V_0} = -\frac{3\alpha_1 u_n}{r_0} \left( \frac{r}{r_0} \right)^2 + \sum_{i=2}^3 \alpha_i \frac{\dot{V}_i}{V_{i0}} = -\frac{3\alpha_1 u_n}{r_0} \left( \frac{r}{r_0} \right)^2 + \varphi(p) \dot{p}, \\ u_n = \frac{\psi(p, V) r_0}{3\eta} \left( \frac{r_0}{r} \right)^2.$$

Давление внутри пузырька меняется по адиабате Пуассона. Отсюда

$$(6) \quad p_n = p_0 \left( \frac{V_{10}}{V_1} \right)^{\gamma_1} = p_0 \alpha_1 \left( \frac{V}{V_0} - \sum_{i=2}^3 \alpha_i \frac{V_i}{V_{i0}} \right)^{-\gamma_1} = p - \psi(p, V), \\ u_n = \frac{(p - p_n) r_0}{3\eta} \left( \frac{r_0}{r} \right)^2.$$

Начальную скорость истечения  $u_{n0} = (p - p_n) r_0 / 3\eta$  можно рассчитать на основе теории произвольного разрыва, как в плоском одномерном случае. По среде, окружающей пузырьки, где давление  $p$ , распространяется волна разрежения, по воздуху, где давление  $p_0 < p$ , — ударная волна. Течение в волне разрежения описывается римановским решением основных уравнений движения. При этом

$$u_{n0} = \pm \int \sqrt{-\frac{dp}{dp}} dp + \text{const},$$

$V(p)$  — закон сжимаемости среды. Постоянная определяется из условий на фронте волны разрежения.

В воздухе давление такое же, как на фронте волны, где выполняются соотношения на скачке

$$u_{\text{пп}} = \sqrt{(p - p_0)(V - V_0)},$$

$V(p)$  — адиабата Гюгонио.

Из условия сопряжения волны разрежения и ударной определяются  $p_{\text{пп}}$  и  $u_{\text{пп}}$ .

При линеаризации уравнения сжимаемости среды, окружающей пузырьки, и адиабаты Гюгонио найдем

$$(7) \quad u_{\text{пп}} = \frac{p - p_{\text{пп}}}{A_2}, \quad \frac{p_{\text{пп}}}{p_0} = \frac{A_1 p + A_2 p_0}{p_0 (A_1 + A_2)}.$$

Для среды жидкость — воздух  $A_1 = \rho_{10} c_{10}$ ,  $A_2 = \rho_{20} c_{20}$ . Величина  $p_{\text{пп}}$  близка к  $p_0$ . Например, при  $p/p_0 = 100$  для среды вода — воздух получим  $p_{\text{пп}} = 1,02 p_0$ , что и оправдывает линеаризацию адиабаты Гюгонио. Сжимаемость жидкости близка к линейной.

Из (6), (7) найдем начальное значение коэффициента вязкости

$$\eta_0 = A_2 r_0 / 3.$$

Для трехкомпонентной среды акустическое сопротивление  $A$  определяется с учетом содержания жидкого и твердого компонентов и их сжимаемости.

При сжатии среды радиус пузырьков может стать меньше радиуса  $r^*$ , соответствующего равенству внешнего  $p$  и внутреннего  $p_{\text{пп}}$  давлений. Равновесие достигается после нескольких колебаний. Амплитуда колебаний давления, обусловленных пульсацией пузырьков на один — два порядка меньше амплитуды волны [8, 9]. Влиянием пульсаций можно поэтому пренебречь, приняв, что происходит монотонное уменьшение радиуса от  $r_0$  до  $r^*$ , а разности  $p - p_{\text{пп}}$  и скорости  $u_{\text{пп}}$  от максимальных значений до нуля. Примем приближенно, что при этом связь  $p - p_{\text{пп}}$  и  $u_{\text{пп}}$  остается линейной  $p - p_{\text{пп}} = A_2 u_{\text{пп}}$ . Тогда в соответствии с (6) найдем

$$(8) \quad \eta = (A_2 r_0 / 3) (r_0 / r)^2.$$

Коэффициент вязкости сначала возрастает, а после достижения равновесного состояния убывает до начального значения.

Опыты по распространению волн сжатия в глицерине с пузырьками газа [8, 9] подтверждают применимость этой модели.

Ниже сопоставляются решения при нулевом, конечном (постоянном) и переменном  $\eta$ .

Воспользуемся переменными Лагранжа  $x, t$ . Основные уравнения движения сплошной среды

$$\frac{\partial u}{\partial x} - \rho_0 \frac{\partial V}{\partial t} = 0, \quad \frac{\partial u}{\partial t} + \frac{1}{\rho_0} \frac{\partial p}{\partial x} = 0.$$

Эта система замыкается уравнением (1). Волна создается нагрузкой в сечении  $x = 0$ . Рассмотрим два варианта нагрузки: ударная

$$(9) \quad \begin{cases} p = p_0 + p_m \exp(-t/\theta) & \text{при } t \geq 0, \\ p = p_0 & \text{при } t \leq 0; \end{cases}$$

непрерывно меняющаяся

$$(10) \quad \begin{cases} p = p_0 + p_m \sin(\pi t/\theta) & \text{при } 0 \leq t \leq \theta, \\ p = p_0 & \text{при } t < 0 \text{ и } t > \theta. \end{cases}$$

Границное условие на фронте волны, где вязкость не проявляется:

$$p - p_0 = \rho_0 u D, (\rho - \rho_0) D = \rho u.$$

Система уравнений гиперболическая. Характеристические соотношения имеют вид

$$dp \pm (-V_0 \varphi(p))^{-1/2} du = \Phi(p, V) dt \text{ при } \pm (-V_0/\varphi(p))^{1/2} = \dot{x},$$

$$dp + (V_0 \varphi(p))^{-1} dV = \Phi(p, V) dt \text{ при } 0 = \dot{x},$$

где  $\Phi(p, V) = \alpha_1 \psi(p, V)/\eta(p, V) \varphi(p)$ .

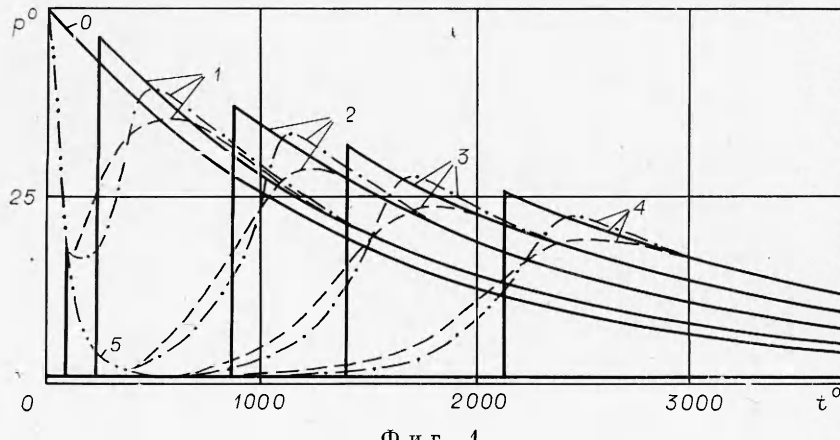
Решение проведено при помощи ЭВМ методом характеристик для среды вода — воздух при содержании воздуха  $\alpha_1 = 0,01$  и  $0,1$ . В расчетах принято:  $\rho_{10} = 1,29$ ,  $\rho_{20} = 10^3$  кг/м<sup>3</sup>,  $c_{10} = 330$ ,  $c_{20} = 1500$  м/с,  $\gamma_1 = 1,4$ ,  $\gamma_2 = 7$ . Применены безразмерные переменные  $x^0 = x/r_0$ ,  $t^0 = tc_{20}/r_0$ ,  $p^0 = p/p_0$ ,  $V^0 = V/V_0$ ,  $\theta^0 = \theta c_{20}/r_0$ .

Рассмотрим результаты расчета параметров волны, создаваемой ударной нагрузкой в виде (9) при  $p^0 = 50$ ,  $\theta^0 = 1400$  и  $\alpha_1 = 0,01$ . На фиг. 1 показано изменение давления во времени в сечениях среды  $x^0$ , равных 0; 100; 350; 550 и 800 (кривые 0—4 соответственно, кривая 5 — давление на предвестнике). Здесь и далее штриховые линии определяют давление в среде с переменным  $\eta$ , штрихпунктирные — с постоянным  $\eta = \eta_0$ , сплошные — в среде без вязкости.

В вязких средах вблизи начального сечения волна включает скачок, за которым следует уменьшение давления, затем его новое постепенное нарастание до второго максимума и новое уменьшение. Наличие двух максимумов прослеживается еще на расстоянии  $x^0 = 100$  (кривые 1). На больших расстояниях за скачком следует непрерывное нарастание давления и затем его уменьшение — волна имеет один максимум. На еще больших расстояниях скачок иссякает и нарастание и спад давления происходят непрерывным образом. Величина давления на скачке одинакова при постоянном и переменном  $\eta$ . Однако максимальное давление при переменном  $\eta$  имеет меньшее значение, интенсивность угасания волны увеличивается. Учет изменения  $\eta$  приводит также к увеличению времени между приходом начала возмущения (скакка) и его максимума, т. е. к более быстрому размыванию волны.

В среде без вязкости волна на всех расстояниях ударная. Максимальное давление выше, чем в вязких средах. Различия давления в трех сравниваемых случаях невелики, порядка одной десятой  $p$ .

На фиг. 2 приведены кривые сжатия и разгрузки  $p(V)$ , реализуемые в разных сечениях среды при прохождении волны. Кривые 0—2 относятся к расстояниям  $x^0 = 0; 100$  и 800 соответственно,  $V_D^0(p^0)$  и  $V_S^0(p^0)$  —

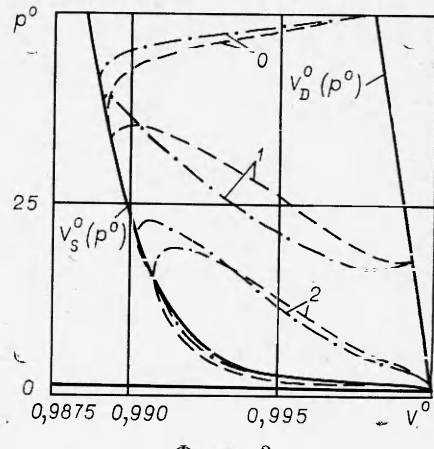


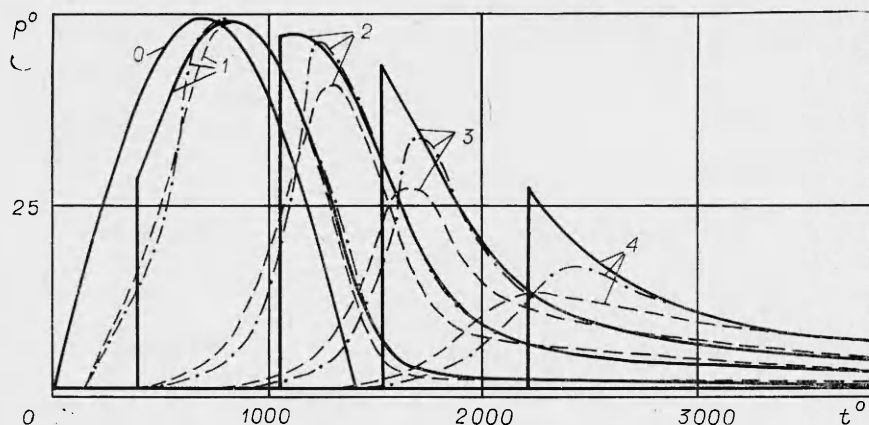
Фиг. 1

диаграммы динамического и статического сжатия среды. При отсутствии вязкости состояние из начальной точки скачком попадает на диаграмму  $V_S^0(p^0)$  и по мере уменьшения давления возвращается по этой кривой в начальную точку. В вязких средах при постоянном и переменном  $\eta$  состояние попадает из начальной точки на диаграмму  $V_D^0(p^0)$ , что соответствует скачку на предвестнике. Затем оно переходит на статическую диаграмму и далее за нее. Когда скачок иссякает, состояние переходит прямо на статическую диаграмму. По мере падения давления состояние приближается к начальной точке, оставаясь за кривой  $V_S^0(p^0)$ . Различия кривых  $p(V)$  при постоянном и переменном  $\eta$  невелики. Если принять радиус пузырька  $r_0 = 0,1$  см, а  $\theta^0 = 1400$ , то размерное время действия нагрузки в начальном сечении  $\theta = 0,93 \cdot 10^{-3}$  с. Таким образом, при длительности нагрузки порядка  $10^{-3}$  с и максимальном давлении  $p = 50 \cdot 10^5$  Н/м<sup>2</sup> состояние среды успевает перейти на статическую диаграмму.

На фиг. 3 показано изменение давления во времени при прохождении волны в сечениях  $x^0$ , равных 0; 50; 100; 200 и 350 (кривые 0—4 соответственно) в случае ударной нагрузки (9) при  $p^0 = 50$ ,  $\theta^0 = 1400$ , но при большем, чем в предыдущем случае, содержании воздуха  $\alpha_1 = 0,1$  (кривая 5 — давление на предвестнике). Различия максимальных давлений при постоянном, переменном  $\eta$  и при отсутствии вязкости здесь также не превышают 15—25%. Наибольшее угасание максимального давления с расстоянием наблюдается при переменном  $\eta$ , наименьшее — при отсутствии вязкости. Возрастание содержания воздуха приводит к возрастанию угасания волны, как это отмечалось ранее [1,6].

Рассмотрим распространение волны, создаваемой непрерывно меняющейся нагрузкой, заданной в виде (10) (полупериод синусоиды) при  $p^0 = 50$ ,  $\theta^0 = 1400$ . Содержание воздуха в воде  $\alpha_1 = 0,01$ . Результаты расчета представлены на фиг. 4. Кривые 0—4 определяют зависимость  $p(t)$  при прохождении волны в сечениях среды  $x^0$ , равных 0; 100; 350; 550 и 800 соответственно. Как и ранее, сплошные линии относятся к среде без





Фиг. 4

вязкости, штрихпунктирные с постоянным, а штриховые с переменным  $\eta$ .

В среде без вязкости около начального сечения возникает волна, имеющая скачок на фронте, величина скачка в первый момент бесконечно мала. За скачком происходит непрерывное возрастание давления до максимального значения. По мере распространения волны величина скачка на фронте увеличивается, а величина последующего непрерывного нарастания давления уменьшается. На некотором расстоянии волна превращается в чисто ударную — максимальное давление достигается на скачке, за ним следует убывание давления. При дальнейшем распространении максимальное давление убывает, а длительность волны возрастает. Процесс превращения непрерывной волны в чисто ударную заканчивается довольно быстро. За время превращения максимальное давление успевает уменьшиться менее чем на 10%.

Диаграмма сжимаемости воды с пузырьками газа без учета вязкости соответствует  $V_S^0(p^0)$  на фиг. 2, а диаграмма сжимаемости чистой воды совпадает с  $V_D^0(p^0)$ . В обеих средах эти кривые выпуклы к началу координат, поэтому непрерывные волны превращаются в ударные. Однако кривизна диаграммы  $V(p)$  в воде с пузырьками существенно выше, чем в чистой воде, поэтому эффекты, связанные с кривизной, проявляются ярче.

В средах с вязкостью (см. фиг. 4) наблюдается размывание непрерывной волны, время между приходом начала возмущения и его максимума по мере распространения волны увеличивается. Одновременно с размыванием на некоторых участках ( $x^0 = 100-350$ ) происходит возрастание крутизны профиля  $p(t)$  (в области увеличения давления), волна постепенно приближается к ударной. На больших расстояниях начинается обратный процесс — крутизна уменьшается ( $x^0 = 550-800$ ) и профиль становится более пологим. Размывание волны и возрастание крутизны профиля происходят при постоянном и переменном  $\eta$ .

Размывание волны связано с вязкими свойствами среды, возрастание крутизны — с нелинейностью диаграммы статического сжатия. Когда эта диаграмма линейна, возрастание крутизны профиля не имеет места [7]. Размывание непрерывной волны, создаваемой синусоидальной нагрузкой в глицерине с пузырьками воздуха, при одновременном возрастании на некотором участке крутизны профиля получено экспериментально в работах [8, 9].

Различия максимальных давлений в волне, создаваемой непрерывно меняющейся нагрузкой при учете и без учета вязкости, достигают 50%, а при постоянном и переменном  $\eta$  — 20%. Кривые  $p(V)$  в разных сечениях среды, реализуемые при прохождении волны, при постоянном и перемен-

ном  $\eta$  отличаются, как и в случае ударной нагрузки (см. фиг. 2), незначительно.

Таким образом, учет объемной вязкости в модели среды приводит к изменению характера волны — размыванию профиля, возникновению двух максимумов, запаздыванию развития деформаций относительно давления, а также к изменению интенсивности угасания с расстоянием. На некоторых участках крутизна профиля волны может возрастать.

Введение переменного коэффициента вязкости вместо постоянного, не меняя общего характера волны, приводит к увеличению интенсивности угасания и размывания волны с расстоянием. Увеличение давления от  $10^5$  до  $50 \cdot 10^5$  Н/м<sup>2</sup> сопровождается уменьшением равновесного радиуса пузырька в 2,53 раза, объема газообразного компонента в 16,33 раза, коэффициента вязкости  $\eta$  в 6,44 раза. При таком изменении  $\eta$  интенсивность угасания и размывания волны возрастает лишь на 10—20 %. Это показывает, что при решении волновых задач в рассмотренных случаях можно пользоваться приближенными значениями коэффициента объемной вязкости.

*Поступила 28 II 1980*

#### ЛИТЕРАТУРА

1. Ляхов Г. М., Охитин В. Н. Сферические взрывные волны в многокомпонентных средах.— ПМТФ, 1974, № 2.
2. Паркин Б. Р., Гильмор Ф. Р., Броуд Г. Л. Ударные волны в воде с пузырьками газа.— В кн.: Подводные и подземные взрывы. М., Мир, 1974.
3. Плаксий В. А. Цилиндрические взрывные волны в многокомпонентных средах.— ПМТФ, 1978, № 3.
4. Ляхов Г. М., Охитин В. Н. Плоские нестационарные волны в средах с объемной вязкостью.— ПМТФ, 1977, № 5.
5. Ляхов Г. М., Охитин В. Н. Сферические взрывные волны в средах с объемной вязкостью.— ПМТФ, 1977, № 6.
6. Ляхов Г. М. Основы динамики взрывных волн в грунтах и горных породах. М., Недра, 1974.
7. Ляхов Г. М., Султанов К. С. Продольные волны в линейных вязкоупругих средах.— Изв. АН СССР. Физика земли, 1978, № 8.
8. Гребенкина Л. Г., Дружинин Г. А., Токман А. С. Исказжение формы импульсов сжатия при распространении в пористой жидкости.— В кн.: Материалы IX Всесоюзн. акустической конф. М., 1977.
9. Дружинин Г. А., Остроумов Г. А., Токман А. С. Нелинейное отражение ударных волн и ударные кривые жидкостей с пузырьками газа.— В кн.: Материалы симпозиума «Нелинейные волны деформации». Таллин, 1978.

УДК 620.171.3

#### НАПРЯЖЕНИЯ СДВИГА И ОТКОЛЬНАЯ ПРОЧНОСТЬ МАТЕРИАЛОВ ПРИ УДАРНЫХ НАГРУЗКАХ (ОБЗОР)

*C. A. Новиков*

(Москва)

Исследования механических свойств материалов при ударном сжатии необходимы для прогнозирования работоспособности многих современных конструкций и для разработки новых технологических методов обработки. Величина критических напряжений сдвига на фронте ударной волны определяет условия перехода из упругого состояния в пластическое. Применение пьезорезистивных датчиков давления позволяет непосредственно измерить нормальное и касательное напряжения на фронте волны, разность которых характеризует ве-